

(HUANJING KEXUE)

ENVIRONMENTAL SCIENCE

第37卷 第5期

Vol.37 No.5

2016

中国科学院生态环境研究中心 主办

科学出版社出版



ENVIRONMENTAL SCIENCE

第 37 卷 第 5 期 2016 年 5 月 15 日

目 次

2015年12月北京市空气重污染过程分析及污染源排放变化
北京 APEC 期间大气颗粒物中类腐殖酸的污染特征及来源
一种,一种,一种,一种,一种,一种,一种,一种,一种,一种,一种,一种,一种,一
成都市西南郊区春季大气 PM _{2.5} 的污染水平及来源解析 林瑜,叶芝祥,杨怀金,张菊,殷蔚雯,李晓芬(1629) 中亚热带背景区重庆四面山大气气态总汞含量变化特征 刘伟明 马明 王定勇 孙涛 魏世强(1639)
固定源排放污染物健康风险评价方法的建立 陈强,吴焕波(1646)
TRT中央型燃烧源颗粒物排放水平与特值测试
利用 SPAMS 分析北京市硫酸盐、硝酸盐和铵盐季节变化特征及潜在源区分布
人过何感潮河校及近岸河口氮、解的分布及俗在性富宫赤化 ***********************************
三峡库区小流域不同土地利用类型对氮素流失影响
业热带农区生态冯荣对农业位流中观系迁移拦截效应研究 … 土迪, 学红方, 刘锋, 土赦, 钾九春, 刊洋, 自凋林, 关金术(1/1/)平原河网典型污染物生物降解系数的研究 冯帅, 李叙勇, 邓建才(1724)
河北衡水湖湿地汞污染现状及生态风险评价 王乃姗,张曼胤,崔丽娟,马牧源,颜亮,穆泳林,秦鹏(1754)
河北衡水湖湿地汞污染现状及生态风险评价····································
乌江中上游段河水主要离子化学特征及控制因素 ············· 黄奇波, 覃小群, 刘朋雨, 蓝芙宁, 张连凯, 苏春田(1771)
岩溶流域地下水 TOC 输出及影响因素分析:以重庆丰都雪玉洞地下河流域为例 ····································
黄嘉仪,陈琳,陈琼,刘淑华,杨亮,童晓宁,贺海波,米小建,邓肖敏,彭小桃,李汉杰,杨琰,周厚云(1798)
基于 PCR-DGGE 和拟杆菌(Bacteroides)16S rRNA 的岩溶地下水粪便污染来源示踪研究:以重庆南山老龙洞地下河系统为例 张弘,蒋勇军,张远瞩,段逸凡,吕现福,贺秋芳(1805)
曲 期 电滚 反 医 下流 电滚 缀 大 略 来 年 媚 去 婚 姑 絕 托 比 甘 武 化 胜 江
世界
臭氧氧化饮用水过程中可同化有机碳生成的影响因素
污水管网典型混流制区域水量水质波动特征解析 ·································程珣,张明凯,刘艳臣,施汉昌(1845) HDTMA 改性沸石的制备及吸附废水中对硝基苯酚的性能和动力学 ························· 郭俊元,王彬(1852)
放射性废水处理中吸附铀的优势藻种筛选 李鑫,胡洪营,余骏一,赵文玉(1858)
不同灌溉方式对华北平原冬小麦田土壤 CO ₂ 和 N ₂ O 排放通量的影响····································
卫河新乡市区段春季溶解 CH ₄ 与N.O浓度特征 ····································
不问准成刀式对字北干原令小麦田上集 CO2 和 ND 升版
黑土丘陵区小流域土壤有机质空间变异及分布格局 … 高凤杰,马泉来,韩文文,单培明,周军,张少良,张志民,王宏燕(1915)
耕作方式对紫色水稻土团聚体中有机质及重金属的分布特征影响 史琼彬,赵秀兰,常同举,卢吉文(1923) 北京东南郊典刑地层重全属分布特征与潜在生态风险 赵倩 马琳 刘翼飞 何江涛 李广贺(1931)
准东煤田露天矿区土壤重金属污染现状评价及来源分析 · · · · · · · · · · · · · · · · · · ·
##作方式对紫色水稻土团聚体中有机质及重金属的分布特征影响 史琼彬,赵秀兰,常同举,卢吉文(1923) 北京东南郊典型地层重金属分布特征与潜在生态风险 赵倩,马琳,刘翼飞,何江涛,李广贺(1931) 推东煤田露天矿区土壤重金属污染现状评价及来源分析 刘巍,杨建军,汪君,王果,曹月娥(1938) 纳米 TiO ₂ 对土壤重金属释放及形态变化的影响 张金洋,王定勇,梁丽,李楚娴,张成,周雄,刘娟(1946) 纳米零价铁铜双金属对铬污染土壤中Cr(VI)的还原动力学 马少云,视方,商执峰(1953) 低分子有机酸对硫杆菌活性的抑制作用及对土壤重金属脱除的影响
低分于有机酸对硫杆菌活性的抑制作用及对土壤重金属脱除的影响 ····································
粒径和包裹物对纳米银在海洋微藻中的毒性影响 宋永伟,王鹤茹,曹艳晓,李飞,崔春红,周立祥(1960) 粒径和包裹物对纳米银在海洋微藻中的毒性影响 黄俊,衣俊,强丽媛,程金平(1968) 萱草修复石油烃污染土壤的根际机制和根系代谢组学分析 王亚男,程立娟,周启星(1978)
高温堆肥过程对猪粪来源抗生素抗性基因的影响 郑宁国,黄南,王卫卫,喻曼,陈晓旸,姚燕来,王卫平,洪春来(1986)
高温堆肥过程对猪粪来源抗生素抗性基因的影响 ······· 郑宁国,黄南,王卫卫,喻曼,陈晓旸,姚燕来,王卫平,洪春来(1986) 磺胺抗性消长与堆肥进程的交互特征 ····································

大辽河感潮河段及近岸河口氮、磷的分布及潜在性富营养化

张雷^{1,2}, 曹伟^{1,2}, 马迎群^{1,2}, 韩超南^{1,2}, 秦延文^{1,2*}, 赵艳民^{1,2}, 刘志超^{1,2}, 杨晨晨^{1,2}

(1. 中国环境科学研究院环境基准与风险评估国家重点实验室,北京 100012; 2. 中国环境科学研究院水环境研究所,环境保护河口与海岸带环境重点实验室,北京 100012)

摘要:根据 2013 年 8 月和 11 月大辽河感潮河段及近岸河口区水质的实测数据,对水体中不同形态氮、磷含量的季节和空间分布特征进行了研究,并对水体潜在性富营养化程度进行了评价.结果表明,2013 年丰水期和枯水期,从大辽河感潮河段至近岸河口区,硝酸盐是水体无机氮存在的主要形态,其约占总无机氮的 55%;颗粒态磷(TPP-P)是水体磷营养盐的主要存在形式,其含量占水体磷营养盐的 50%以上.空间上,从大辽河感潮河段至近岸河口区,水体的氮、磷形态的浓度表现为逐渐降低的趋势,相关性分析结果显示,水体大多数氮、磷形态与盐度呈显著的负相关关系,说明海水物理稀释相比其它环境因子对水体氮、磷形态空间分布起着主要作用;季节上,大辽河感潮河段及近岸河口区水体氮、磷含量表现为"枯水期 > 丰水期",这主要与感潮河段季节性陆源输入情况不同有关.大辽河感潮河段及近岸河口区水体 DIN-N 浓度均大于 0.30 mg·L⁻¹, N/P大于 60,均表现为磷限制潜在富营养化水平.

关键词:大辽河感潮河段及河口区; 氮磷; 空间分布; 时间分布; 富营养化

中图分类号: X52 文献标识码: A 文章编号: 0250-3301(2016)05-1677-08 DOI: 10.13227/j. hjkx. 2016.05.011

Distribution of Nitrogen and Phosphorus in the Tidal Reach and Estuary of the Daliao River and Analysis of Potential Eutrophication

ZHANG Lei^{1,2}, CAO Wei^{1,2}, MA Ying-qun^{1,2}, HAN Chao-nan^{1,2}, QIN Yan-wen^{1,2*}, ZHAO Yan-min^{1,2}, LIU Zhi-chao^{1,2}, YANG Cheng-cheng^{1,2}

(1. National Key Laboratory of Environmental Criteria and Risk Assessment, Chinese Research Academy of Environmental Sciences, Beijing 100012, China; 2. State Environmental Protection Key Laboratory of Estuarine and Coastal Environment, Water Research Institute, Chinese Research Academy of Environmental Sciences, Beijing 100012, China)

Abstract: Based on the monitoring data in the tidal reach and estuary of the Daliao river in August and November, 2013, the seasonal and spatial distribution of the nitrogen and phosphorus forms were studied, and the degree of eutrophication was evaluated. The results showed that nitrate nitrogen was the main chemical species and occupied about fifty-five percent of inorganic nitrogen, and the particulate phosphorus was the main chemical species and occupied about fifty percent of total phosphorus in the tidal reach and estuary of the Daliao river in wet and dry seasons, 2013. The concentrations of nitrogen and phosphorus nutrients decreased in the direction from tidal reach to estuary of the Daliao river. Correlation analysis showed that there was a significant negative correlation between the nitrogen and phosphorus forms and salinity in most of the water body, which illustrated that physical dilution of seawater played a major role in the spatial distribution of nitrogen and phosphorus forms. The concentrations of nitrogen and phosphorus nutrients in the dry season were higher than those in the wet season, this was mainly related to the seasonal terrestrial input of the tidal reach. The concentration of the dissolved inorganic nitrogen was higher than 0.30 mg·L⁻¹, and the value of N/P was higher than 60, which indicated that PO₄³-P was the nutrient limiting phytoplankton growth in the tidal reach and estuary of the Daliao river in August and November, 2013.

Key words: the tidal reach and estuary of the Daliao river; nitrogen and phosphorus; spatial distribution; temporal distribution; eutrophication

在陆海生物地球化学循环中,生源要素主要通过河流输送至海洋中.河口作为海洋与陆地河流的交汇结合处,是生源要素陆海输送必经之地.由于大多数近岸河口人类活动频繁,河口会接收和存储大量来自上游河流水体中的污染物质.然而,河口具有每天涨退潮的不稳定环境特性,导致水体污染物质不断震荡,难以扩散,从而河口水环境污染加

剧,水生态系统失衡^[1-3],以往研究表明^[4],氮磷是河口区水质的主要污染因子.

收稿日期: 2015-11-02: 修订日期: 2015-12-21

基金项目: 国家水体污染控制与治理科技重大专项(2012ZX07503-

002)

作者简介:张雷(1975~),男,高级工程师,主要研究方向为环境工

程、环境化学,E-mail:zhang_lei@craes.org.cn

* 通讯联系人,E-mail:qinyw@craes.org.cn

关于河口水体氮磷的研究,国内外学者已有大 量报道. Boynton 等^[5]研究表明非点源的氮磷的输 人是美国帕塔森特河河口区的主要污染源输入:近 10年来,美国密西西比河河口区氮磷污染导致其富 营养化越来越严重^[6,7]; Kress 等^[8]研究发现 Nicoya 湾内的营养盐浓度高于湾外,河口附近浓度高于其 他区域,并且雨季 Nicoya 湾区域内营养盐浓度高于 旱季; Zee 等[9]研究了比利时 Scheldt 河口和感潮河 段水环境中溶解态和颗粒态氮、磷的分布,研究结 果表明主要影响 Scheldt 河口和感潮河段水体氮、 磷形态转化的过程包括磷的吸附-解吸作用,海藻摄 取作用和硝化作用;李磊等[10]研究发现长江口海 域营养盐浓度具有明显的季节变化特点,且富营养 化严重[11]; 蔡阳扬等[12]研究发现珠江口海域在夏 秋季基本上属中度至重度富营养化海域;赵骞 等[13]研究发现辽东湾海域氮磷浓度均表现为河口 大于远海,秋季大于夏季的特征,且富营养化非常 严重.

大辽河作为辽东湾海域较大的入海河流之一,沿岸人类活动频繁和工农业活动发达,大量的氮、磷等营养物质输入至感潮河段继而排泄入海,导致大辽河口水体富营养化程度逐渐加剧.目前大辽河河口水体营养盐的分布规律研究已引起广大研究

人员的关注. 张晋华等^[14] 研究表明辽河口水体NO₃-N、DIN-N、TN-N 在 4、7 和 11 月的河口混合过程中均呈保守型,PO₄³-P 在 4、7 月为保守的,在 11 月不保守. 殷林春等^[15] 研究发现大辽河主要污染因子为氨氮和有机污染物,冬季、春季大辽河水质污染比夏季严重,落潮时污染比涨潮时严重. 然而,这些研究主要集中于大辽河上游河流或者口外海域,对于大辽河感潮河段及近岸河口区水体营养盐不同形态的分布特征以及潜在性富营养化程度缺乏系统分析. 本研究通过对 2013 年 8 月和 11 月大辽河河口区水样进行监测分析,分析水体中不同形态氮、磷含量的季节和空间分布特征,并且评价水体潜在性富营养化程度,以期为大辽河河口区有关营养盐的进一步研究提供参考.

1 材料与方法

1.1 采样站位和采样时间

大辽河由浑河、太子河在三岔河汇流后起始,整体流向西南,途经下坎子、石佛、赏军台、田庄台、水源,至荣兴农场附近,流向折向东南,经鸭岛进入营口市汇入渤海(图1). 大辽河流域面积1936 km²,河长94 km. 由于河口区的潮流上溯能到达三岔河以上,故而大辽河全河均为感潮河段.

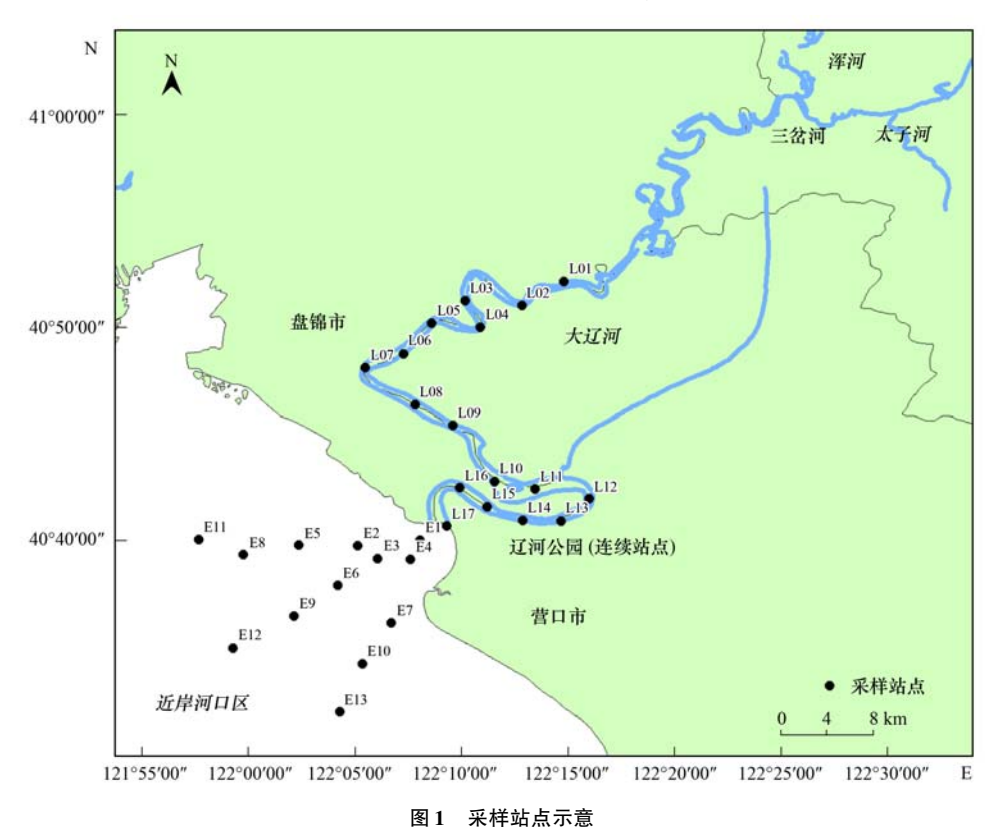


Fig. 1 Sampling sites

2013 年 8 月(丰水期)和 11 月(枯水期)对大辽河感潮河段及近岸河口区(40°34′11″N~40°52′11″N、121°59′54″E~122°16′00″E)开展两次野外调查,设置 30 个采样站点,其中大辽河感潮河段设置 17个(L1~L17),近岸河口区设置 13 个(E1~E13).采样站位如图 1 所示.

1.2 样品采集及预处理

现场采样时先放掉少量水样,混匀后,取一部分水样立即装于聚乙烯瓶中,4℃冷藏保存;取一部分水样立即经 $0.45~\mu m$ 醋酸纤维滤膜过滤,滤液装于聚乙烯瓶中,加入 2~ 滴氯仿,进行 4 ℃冷藏保存;另取 250~ mL 水样立即经 0.70~ μm 玻璃纤维滤膜过滤, -20 ℃冷冻保存滤膜.

水体氮、磷营养盐的测定:取经 $0.45~\mu m$ 滤膜过滤并加氯仿冷藏保存的水样,使用 QUAATRO 型营养盐自动分析仪(德国 BRAN LUEBBE 公司)测定溶解态无机氮含量(DIN-N),包括氨氮(NH₄⁺-N)、亚硝酸盐(NO₂⁻-N)、硝酸盐(NO₃⁻-N)含量;使用磷钼蓝分光光度法测定水样中活性磷酸盐(PO₄³-P)含量.分别取过滤后水样和未过滤原水样,采用碱性过硫酸钾法消解后使用 QUAATRO型营养盐自动分析仪测定总溶解态氮(TDN-N)和总氮(TN-N)的含量;采用过硫酸钾法消解后使用磷钼蓝分光光度法分别测定总溶解态磷(TDP-P)和总磷(TP-P)的含量.

水体 pH 值、水温、氧化还原电位、盐度、溶解氧等常规水质参数的测定:现场使用 YSI 便携式多参数水质监测仪(美国 YSI 6600V2 型)直接读取.

水体叶绿素 a 的测定:取经 0.70μm 玻璃滤膜过滤后的滤膜,使用 F-4500 型荧光光谱仪(日本HITACHI公司)测定.

水体悬浮颗粒物含量的测定:水样经 0.45 μm 醋酸纤维滤膜过滤,称量留在滤膜上的悬浮物质的 重量,计算水中的悬浮颗粒物浓度.

各营养盐参数的测定严格按照《海洋监测规范》GB 17378-1998 的有关要求进行.

2 结果与讨论

2.1 水质参数分布特征

大辽河感潮河段与近岸河口区每天两次的涨潮退潮过程,影响着水体 pH 值、水温、溶解氧、氧化还原电位、盐度、悬浮颗粒物含量和叶绿素 a 等水质指标,继而影响着水体各形态氮、磷营养盐分布.大辽河感潮河段及近岸河口区水质参数分布如表 1 所示,可以看出:空间上,大辽河感潮河段与近岸河口区水体 pH 值、水温、溶解氧含量差异不大,而盐度、氧化还原电位、悬浮颗粒物含量和叶绿素 a 含量具有一定差异性,尤其以枯水期差异更为显著;季节上,丰水期和枯水期,水体水温、溶解氧、悬浮颗粒物含量和叶绿素 a 含量变化比较大.

表 1 大辽河感潮河段及近岸河口区水质参数

Table 1 Water quality parameters of the tidal reach and estuary of the Daliao River

时期	区域	pH 值	水温 /℃	溶解氧 /mg·L ⁻¹	盐度 /‰	氧化还原电位 /mV	悬浮颗粒物 /mg·L ⁻¹	叶绿素 a /μg·L ⁻¹
丰水期	感潮河段 近岸河口	7. 32 7. 69	24. 40 26. 51	3. 22 3. 90	0. 16 7. 67	82. 18 78. 77	344. 67 105. 27	18. 26 20. 93
枯水期	感潮河段 近岸河口	7. 83	5. 72 5. 79	10. 97 10. 46	0. 99 17. 14	85. 36 42. 65	64. 98 133. 54	24. 93 2. 28

2.2 水体中 N 营养盐含量

2013 年丰水期(8月),大辽河感潮河段水体 TN-N 浓度在 $5.81 \sim 7.78 \text{ mg} \cdot \text{L}^{-1}$,平均浓度为 $6.79 \text{ mg} \cdot \text{L}^{-1}$; 近岸河口区水体 TN-N 浓度在 $3.67 \sim 6.54 \text{ mg} \cdot \text{L}^{-1}$; 近岸河口区水体 TN-N 浓度在 $3.67 \sim 6.54 \text{ mg} \cdot \text{L}^{-1}$,平均浓度为 $5.13 \text{ mg} \cdot \text{L}^{-1}$. 枯水期(11月),大辽河感潮河段水体 TN-N 浓度在 $4.97 \sim 10.07 \text{ mg} \cdot \text{L}^{-1}$,平均浓度为 $9.19 \text{ mg} \cdot \text{L}^{-1}$; 近岸河口区水体 TN-N 浓度在 $1.61 \sim 5.84 \text{ mg} \cdot \text{L}^{-1}$,平均浓度为 $3.48 \text{ mg} \cdot \text{L}^{-1}$. 大辽河感潮河段及近岸河口区水体 TN-N 的组成均以 TDN-N 为主,占 85% 以上; TDN-N 的组成均以 DIN-N 为主,占 80% 以上; DIN-N 的

组成均以 NO_3^- -N为主,占 65%以上,其中大辽河感潮河段及近岸河口区水体中不同形态氮的含量分布如表 2 所示.

同国内外其他河流或河口水体氮含量相比(表2),大辽河感潮河段及近岸河口区水体NO₂-N、NH₄+-N和NO₃-N浓度处于较高的水平,其浓度明显高于世界其他河流河口.同《地表水环境质量标准》(GB 3838-2002)Ⅲ类水质标准 氨氮浓度(以 N 计,1.00 mg·L⁻¹)相比,丰水期和枯水期大辽河感潮河段大多数站点水体 NH₄+-N浓度均不超标.同《海水水质标准》(GB

3097-1997) Ⅳ类水质标准非离子氨浓度(以 N 计,0.02 mg·L⁻¹)相比,枯水期大辽河近岸河口区84.60%站点水体NH₄⁺-N浓度均超标,而丰水期仅位于东部海域的个别站点(E4、E10 和

E13)超标;同《海水水质标准》(GB 3097-1997) IV 类水质标准无机氮浓度(以N 计,0.50 $mg \cdot L^{-1}$)相比,丰水期和枯水期大辽河近岸河口区水体所有站点 DIN-N 浓度均超标.

表 2 大辽河口及世界其他河口水体营养盐含量/mg·L-1

Table 2 Content of the nutrients in Daliaohe estuary and other estuaries in the world/mg·L⁻¹

时期	区域	NO_2^- -N	NH ₄ -N	NO ₃ -N	TDN-N	TN-N	PO ₄ P	TDP-P	TP-P
丰水期	感潮河段	0.43	0. 50	3. 92	5. 96	6. 79	0. 04	0. 07	0. 15
十八两	近岸河口区	0. 58	0. 17	3. 74	4. 64	5. 13	0.03	0.04	0.13
枯水期	感潮河段	1.78	0.82	5. 26	9. 03	9. 19	0.08	0. 16	0.41
111/1/791	近岸河口区	0.83	0. 63	2. 87	3.96	3.48	0.06	0.09	0.32
The Humber-O	use Estuary, UK ^[16]	0. 014 ~ 0. 126		0.002 ~ 9.8			0. 155 ~ 0. 465		
Mississippi Riv	er ^[17]			1.099			0.0496		
Ebro Estuary [18]	0.012	0. 0168	2. 040			0. 186		
黄河口[19]		0.060	0.058				0.021		
珠江口[20]		0.0178	0.024	0. 685			0.016		
大辽河口[14]		0. 049 ~ 0. 117	0. 061 ~ 2. 818	1. 327 ~ 3. 578			0. 029 ~ 0. 053		

2.3 水体中 P 营养盐含量

2013 年丰水期(8月),大辽河感潮河段水体 TP-P 浓度在 $0.07 \sim 0.32 \text{ mg·L}^{-1}$,平均浓度为 0.15 mg·L^{-1} ; 近岸河口区水体 TP-P 浓度在 $0.05 \sim 0.18 \text{ mg·L}^{-1}$; 近岸河口区水体 TP-P 浓度在 $0.28 \sim 0.62 \text{ mg·L}^{-1}$,平均浓度为 0.41 mg·L^{-1} ; 近岸河口区水体 TP-P 浓度在 $0.28 \sim 0.62 \text{ mg·L}^{-1}$,平均浓度为 0.41 mg·L^{-1} ; 近岸河口区水体 TP-P 浓度在 $0.16 \sim 0.53 \text{ mg·L}^{-1}$,平均浓度为 0.32 mg·L^{-1} . 大辽河感潮河段及近岸河口区水体中 TP-P 的组成均以 TPP-P 为主,占 50%以上; TDP-P 的组成均以 PO $_4^{3-}$ -P 为主,占 55%以上.

从表 2 可以看出,大辽河感潮河段及近岸河口区水体 PO³⁻-P浓度处于国内外其他河流河口浓度之间,但明显低于欧美一些污染和富营养河流河口,高于黄河口和珠江口.同《地表水环境质量标准》(GB 3838-2002)Ⅲ类水质标准总磷浓度(以 P 计,0.20 mg·L⁻¹)相比,丰水期大辽河感潮河段大多数站点水体总磷浓度不超标,而枯水期大辽河感潮河段所有站点均超标.同《海水水质标准》(GB 3097-1997)Ⅳ类水质标准活性磷酸盐浓度(以 P 计,0.045 mg·L⁻¹)相比,丰水期大辽河近岸河口区所有站点水体活性磷酸盐浓度均不超标,而枯水期大辽河近岸河口区所有站点水体活性磷酸盐浓度均不超标,而枯水期大辽河近岸河口区 69.20%站点超标.

2.4 水体营养盐的时空分布特征

在空间分布上,2013 年丰水期和枯水期,从大辽河感潮河段到近岸河口区,水体中 NO_2^--N 、 NO_3^--N 、TDN-N、TN-N、 $PO_4^{3-}-P$ 、TDP-P 和 TP-P 含量基本上均呈现出逐渐降低的空间分布特征(见图

2~9). 海水物理稀释作用是导致此种氮、磷营养 盐分布的主要原因. 大辽河感潮河段因接收上游来 水和沿途污染源的营养盐输入而成为富营养盐河 水,经过入海口流入近岸河口区时,富营养盐河水受 到大量贫营养盐海水的稀释作用,使得近岸河口区 水体中各种形态氮、磷浓度降低,此种分布规律是 近岸河口区的自生表现形式,与其它学者对闽江河 口[21]、九龙江河口[22]、长江口[23]、黄河口[24]等水 体营养盐的空间分布规律一致. 通过相关性分析也 得到枯水期,大辽河感潮河段及近岸河口区水体 NO₂ -N、NO₃ -N、TDN-N、TN-N、PO₄ -P、TDP-P 和 TP-P 含量均与盐度呈显著的负相关关系; 丰水期, 水体 TDN-N、TN-N、TDP-P 和 TP-P 与盐度的负相 关关系显著(见表3). 枯水期大辽河感潮河段及近 岸河口区水体氮、磷形态与盐度的相关关系比丰水 期明显,这可能是受到丰水期雨水汇入后河流径流 量较大的影响.

而NH₄⁺-N浓度的空间分布却不如其它氮形态规律,呈齿状分布,原因是水体中NH₄⁺-N浓度受到沿途工业废水、生活污水、有机垃圾和家畜家禽粪便点源污染以及农业施肥面源污染输入的影响十分敏感^[25].

同时,大辽河近岸河口区 E4、E7、E10、E13 站点水体中 NO_2^- -N、 NH_4^+ -N、 NO_3^- -N、TDN-N、TN-N、 PO_4^{3-} -P、TDP-P 和 TP-P 的浓度大多数位于峰顶,高于近岸河口区内的其余站点. E4、E7、E10、E13 站点均位于大辽河近岸河口区的东部海域,说明大辽河河口东部海域氮、磷污染相比中部、西部严重,此结果与雷坤等 $[^{26}]$ 的研究结果一致.

主 2	大辽河感潮河段及近岸河口区水体氮磷与盐度的相	1444年
⊼ ⊽ .5		

Table 3	Correlation analysis between N	P	and salinity	in th	e tidal reac	h and	estuary	of the	Daliao River

项目	NO ₂ -N	NH ₄ -N	NO_3^- -N	TDN-N	TN-N	PO ₄ P	TDP-P	TP-P
丰水期盐度	- 0. 045	-0.166	-0.312	-0.834 * *	-0.855 * *	-0.079	-0.446 *	-0.422*
枯水期盐度	- 0. 926 * *	-0.255	-0.944 * *	-0.989 * *	- 0. 990 * *	-0.851 * *	-0.928 * *	-0.441*

1) * 表示 P < 0.05, * * 表示 P < 0.01

在季节分布上,大辽河感潮河段水体 NO₂⁻-N、NH₄⁺-N、NO₃⁻-N、TDN-N、TN-N、PO₄³--P、TDP-P和 TP-P含量的分布相似,均表现为"枯水期含量 > 丰水期含量". 这主要受大辽河感潮河段上游水体营养盐陆源输入季节性不同的影响. 大辽河感潮河段水体中氮主要来源于上游浑河、太子河的汇流输入以及沿途点源和农业面源污染输入,丰水期相比枯水期因大量雨水汇入上游来水而稀释了氮、磷输入浓度,从而导致枯水期感潮河段不同形态氮、磷含量较高.

大辽河近岸河口区水体 NO₂-N、NH₄-N、PO₄-P、TDP-P 和 TP-P 含量的季节分布与感潮河段相同,然而近岸河口区水体 NO₃-N、TDN-N 和 TN-N 含量的季节分布相反,表现为"丰水期含量 > 枯水期含量".原因可能是水体中氮形态从感潮河段经过入海口输入至河口区的过程中,海水物理稀释作用弱化了陆源输入季节性不同的影响,从而突显了近岸河口区水体浮游植物生长代谢情况季节性差异对水体氮形态分布的影响.丰水期相比枯水期水温较高,近岸河口区中部真光层光照充足,浮游植物生长代谢旺盛,生长量多同时死亡残骸也较多,经过细菌分解作用、氨化作用和硝化作用等,近岸河口区水体中溶解态的NO₃-N、DIN-N含量增加,从而丰水期近岸河口区水体NO₃-N、TDN-N和 TN-N含量较高.

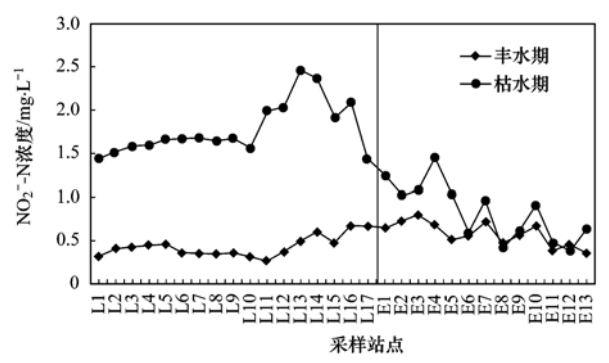


图 2 大辽河感潮河段及近岸河口区水体 NO_2^- -N 浓度的空间分布

Fig. 2 Spatial distribution of NO_2 -N in the tidal reach and estuary of the Daliao river

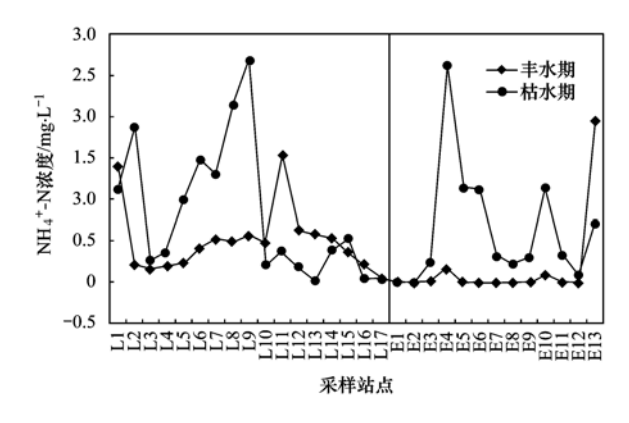


图 3 大辽河感潮河段及近岸河口区水体NH₄-N浓度的空间分布

Fig. 3 Spatial distribution of NH_4^+ -N in the tidal reach and estuary of the Daliao river

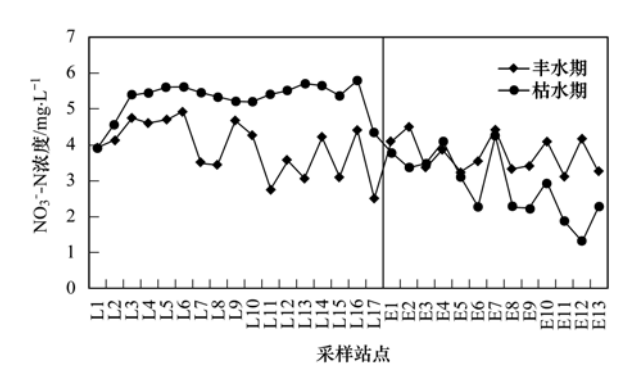


图 4 大辽河感潮河段及近岸河口区水体 NO_3^- -N 浓度的空间分布

Fig. 4 Spatial distribution of NO₃⁻-N in the tidal reach and estuary of the Daliao river

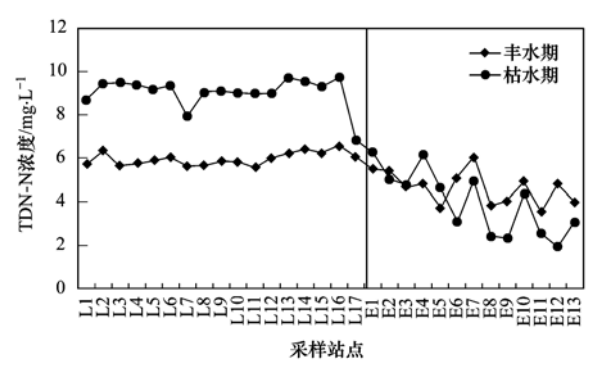


图 5 大辽河感潮河段及近岸河口区水体 TDN-N 浓度的空间分布

Fig. 5 Spatial distribution of TDN-N in the tidal reach and estuary of the Daliao river

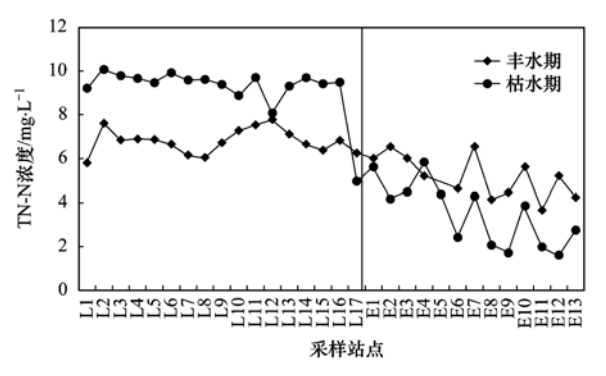


图 6 大辽河感潮河段及近岸河口区水体 TN-N 浓度的空间分布

Fig. 6 Spatial distribution of TN-N in the tidal reach and estuary of the Daliao river

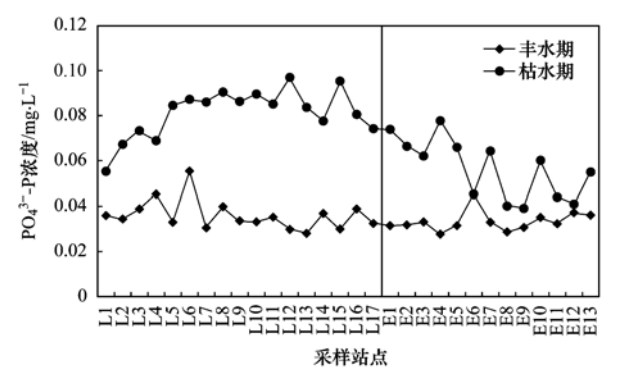


图 7 大辽河感潮河段及近岸河口区水体 PO_4^{3-} -P 浓度的空间分布

Fig. 7 Spatial distribution of PO₄^{3 -} -P in the tidal reach and estuary of the Daliao river

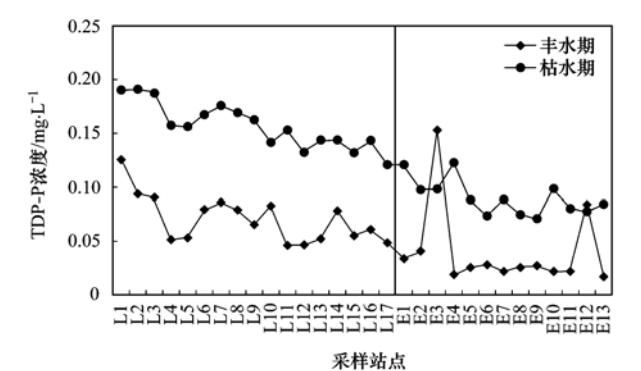


图 8 大辽河感潮河段及近岸河口区水体 TDP-P 浓度的空间分布

Fig. 8 Spatial distribution of TDP-P in the tidal reach and estuary of the Daliao river

2.5 大辽河近岸河口区潜在性富营养化评价

海水中相对过剩的营养盐并不能被浮游植物所利用,仅代表一种潜在的富营养化,只有在水体得到足够的最大限制性氮或磷补充使得水体 N/P 值接近 Redfield 值,这部分过剩的磷或氮对水体富营养化的实质性贡献才得以表现^[27,28]. 这就是研究学者提出潜在性富营养化评价法^[29]的基本观点,此方法

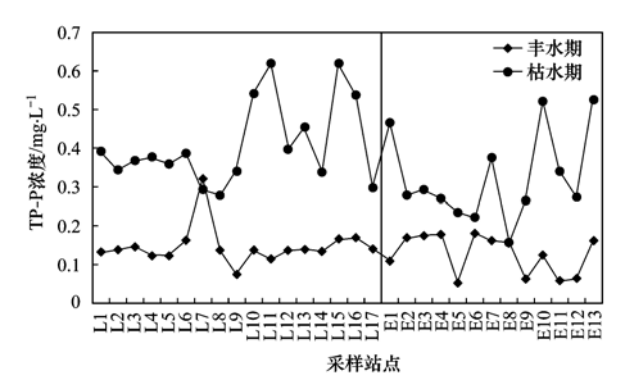


图 9 大辽河感潮河段及近岸河口区水体 TP-P 浓度的空间分布

Fig. 9 Spatial distribution of TP-P in the tidal reach and estuary of the Daliao river

多数用于评价近岸河口和海洋水体营养程度及限制 因子,营养盐分级标准如表 4 所示. 本研究选用该 方法对大辽河近岸河口区水体的潜在性富营养状态 进行了评价.

评价结果显示,2013 年丰水期,大辽河近岸河口区水体 DIN 浓度、 PO_4^{3-} -P浓度和 N/P 量比的平均值分别为 4. 48 mg·L⁻¹、0. 03 mg·L⁻¹和 301. 25;枯水期,大辽河近岸河口区水体 DIN 浓度、 PO_4^{3-} -P浓度和 N/P 量比的平均值分别为 4. 33 mg·L⁻¹、0. 06 mg·L⁻¹和 166. 27. 对照表 3 中潜在性富营养化评价标准得到:2013 年丰水期和枯水期,大辽河近岸河口区水体均表现为磷限制潜在性富营养.

通过查阅近些年大辽河河口区水体氮、磷方面 的研究成果(表5),分析了大辽河河口区水体潜在 性富营养化状态的历史变化趋势. 从 1992~2013 年,大辽河河口区水体富营养化的限制因子均为磷 限制,其中2007年之后大辽河近岸河口区水体均表 现为磷限制潜在性富营养化状态. 从表5可以看出, 2007年7月之前大辽河近岸河口区水体 DIN-N 浓度 基本小于 1.00 mg·L⁻¹,2007 年 7 月之后无机氮浓度 均大于3.00 mg·L-1. 同时,大辽河近岸河口区水体 PO_4^{3-} -P浓度也呈现波动性增大的趋势,其原因之一 可能是近些年从大辽河感潮河段输入近岸河口区的 陆源氮、磷营养盐的数量相比之前逐渐增加,导致水 体 DIN-N 和 PO³⁻-P 浓度增大,原因之二可能是不同 时期、不同学者、不同实验室、不同仪器测定氮、磷 含量等必然会引入一定的实验误差和数据误差. 从 1992~2013年,大辽河近岸河口区水体 N/P 量比值 波动性变化,不同季节水体 N/P 量比值不同,这主要 受到不同年代、不同季节水体动力学条件和水体物 理、化学和生物因素等的共同影响.

表 4 潜在性富营养化评价标	准
----------------	---

Table 4	Classification	αf	notential	eutrophication	levels

海区等级	营养级	DIN-N/mg·L ⁻¹	PO_4^{3} P/mg·L $^{-1}$	N/P 量比
I	贫营养	< 0.20	< 0.03	8 ~ 30
II	中度营养	0. 20 ~ 0. 30	0. 03 ~ 0. 045	8 ~ 30
Ш	富营养	>0.30	>0.045	8 ~ 30
${ m IV}_{ m P}$	磷限制中度营养	0. 20 ~ 0. 30		>30
${ m V}_{ m P}$	磷中等限制潜在性富营养	>0.30		30 ~ 60
VI_P	磷限制潜在性富营养	>0.30		>60
IV_{N}	氮限制中度营养		0. 03 ~ 0. 045	< 8
$V_{_{ m N}}$	氮中等限制潜在性富营养		> 0. 045	4 ~ 8
VI_N	氮限制潜在性富营养		>0.045	<4

表 5 大辽河感潮河段及近岸河口区潜在性富营养化的历史趋势

Table 5 Historical trend of potential eutrophication in the tidal reach and estuary of the Daliao River

时间	DIN-N	PO ₄ P	N/P 量比	海区等级	营养级	文献
h.) le)	$/\mathrm{mg} \cdot \mathrm{L}^{-1}$	$/\mathrm{mg} \cdot \mathrm{L}^{-1}$	11/1 里比	两	日介級	大 田八
1992 年 8 月	0.71	0. 04	35. 73	V _P	磷中等限制潜在性富营养	[30]
2002年6~9月	0. 21	0.01	50. 77	${ m IV}_{ m P}$	磷限制中度营养	[31]
2003年9月	0.31	0.034	20. 31	Ⅱ ~ Ⅲ	介于中度营养与富营养之间	[26]
2007年7月	0.53	0.013	88. 91	${ m VI}_{ m P}$	磷限制潜在性富营养	[32]
2009年7月	3.42	0.043	174. 36	${ m VI}_{ m P}$	磷限制潜在性富营养	[33]
2010年4月	4. 19	0.053	176. 24	${ m VI}_{ m P}$	磷限制潜在性富营养	[14]
2010年7月	3.34	0.028	307. 94	VI_P	磷限制潜在性富营养	[14]
2010年9月	3.46	0.032	242. 55	${ m VI}_{ m P}$	磷限制潜在性富营养	[14]
2011年10月	3.81	0.10	84. 36	${ m VI}_{ m P}$	磷限制潜在性富营养	[34]
2012年5月	5. 88	0.09	144. 67	VI_P	磷限制潜在性富营养	[34]
2012年8月	5. 52	0.06	203.71	VI_P	磷限制潜在性富营养	[34]
2013年8月	4. 69	0.04	296. 84	VI_P	磷限制潜在性富营养	本研究
2013年11月	6. 33	0.07	200. 36	VI_P	磷限制潜在性富营养	本研究

3 结论

- (1)2013 年丰水期和枯水期,从大辽河感潮河段输入至近岸河口区水体 TN-N 组成以 TDN-N 为主,占85%以上,其中 TDN-N 中 DIN-N 所占质量分数超过 80%, DIN-N 中 NO₃-N所占质量分数超过 65%. 从感潮河段输入至近岸河口区水体 TP-P 中 TPP-P 所占质量分数占50%以上, TDP-P 中 PO₄³⁻-P 所占质量分数大于55%.
- (2)2013 年丰水期和枯水期,空间分布上,从大辽河感潮河段到近岸河口区,水体中 NO_2^--N 、 NO_3^--N 、TDN-N、TN-N、 $PO_4^{3-}-P$ 、TDP-P 和 TP-P 含量基本上均呈现出逐渐降低的空间分布特征, NH_4^+-N 浓度的空间分布不如其它氮形态规律,呈齿状分布.季节分布上,大辽河感潮河段及近岸河口区水体氮、磷形态表现为"枯水期含量 > 丰水期含量".
- (3)2013 年丰水期和枯水期,大辽河近岸河口 区水体 DIN-N 浓度均大于 0.30 mg·L⁻¹, N/P 大于

- 60,均表现为磷限制潜在富营养化水平. 从 1992 ~ 2013 年,大辽河近岸河口区水体富营养化的限制因子均为磷限制,水体 N/P 量比波动性上下变化,而无机氮、活性磷酸盐浓度均呈波动性上升的趋势. 参考文献:
- [1] Newman M C, Roberts M H Jr, Hale R C. 郑丙辉, 王丽平, 雷坤, 译. 河口与海岸带风险评价[M]. 北京: 海洋出版社, 2011. 1-4.
- [2] 白军红,邓伟. 中国河口环境问题及其可持续管理对策[J]. 水土保持通报,2001,21(6):12-15.
- [3] Billen G, Somville M, De Becker E, et al. A nitrogen budget of the Scheldt hydrographical basin[J]. Netherlands Journal of Sea Research, 1985, 19(3-4): 223-230.
- [4] 全为民, 沈新强, 韩金娣, 等. 长江口及邻近水域氮、磷的 形态特征及分布研究[J]. 海洋科学, 2010, 34(3): 76-81.
- [5] Boynton W R, Hagy J D, Cornwell J C, et al. Nutrient budgets and management actions in the Patuxent River Estuary, Maryland [J]. Estuaries and Coasts, 2008, 31(4): 623-651.
- [6] Alexander R B, Smith R A, Schwarz G E. Effect of stream channel size on the delivery of nitrogen to the Gulf of Mexico[J]. Nature, 2000, 403(6771): 758-761.
- [7] Rabalais N N, Turner R E, Wiseman W J, et al. Nutrient

- changes in the Mississippi river and system responses on the adjacent continental shelf [J]. Estuaries, 1996, 19(2): 386-407.
- [8] Kress N, Coto S L, Brenes C L, et al. Horizontal transport and seasonal distribution of nutrients, dissolved oxygen and chlorophyll-a in the Gulf of Nicoya, Costa Rica; a tropical estuary [J]. Continental Shelf Research, 2002, 22 (1): 51-66
- [9] Van Der Zee C, Roevros N, Chou L. Phosphorus speciation, transformation and retention in the Scheldt estuary (Belgium/The Netherlands) from the freshwater tidal limits to the North Sea [J]. Marine Chemistry, 2007, 106(1-2): 76-91.
- [10] 李磊, 沈新强. 春、夏季长江口海域营养盐的时空分布特征及营养结构分析[J]. 生态环境学报, 2010, **19**(12); 2941-2947.
- [11] Chen Y X, Liu R M, Sun C C, et al. Spatial and temporal variations in nitrogen and phosphorous nutrients in the Yangtze River Estuary [J]. Marine Pollution Bulletin, 2012, 64 (10): 2083-2089.
- [12] 蔡阳扬, 岑竞仪, 欧林坚, 等. 夏秋季珠江口水域 COD、DO、营养盐分布特征及其富营养化评价[J]. 暨南大学学报(自然科学与医学版), 2014, **35**(3): 221-227.
- [13] 赵骞, 张志锋, 王立军, 等. 2011年夏秋季辽东湾营养盐分布及环境容量研究[J]. 海洋开发与管理, 2011, (11): 89-96
- [14] 张晋华,于立霞,姚庆祯,等.不同季节辽河口营养盐的河口混合行为[J].环境科学,2014,35(2):569-576.
- [15] 殷林春,王作敏,李晓敏. 大辽河水质污染规律及污染趋势分析[J]. 辽宁城乡环境科技,2004,24(1):16-18.
- [16] Uncles R J, Howland R J M, Easton A E, et al. Seasonal variability of dissolved nutrients in the Humber-Ouse estuary, UK [J]. Marine Pollution Bulletin, 1998, 37(3-7): 234-246.
- [17] Shiller A M. A mixing rate approach to understanding nutrient distributions in the plume of Mississippi River [J]. Marine Chemistry, 1993, 43(1-4): 211-216.
- [18] Falco S, Niencheski L F, Rodilla M, et al. Nutrient flux and budget in the Ebro estuary [J]. Estuarine, Coastal and Shelf

- Science, 2010, 87(1): 92-102.
- [19] 张继明, 刘霜, 张琦, 等. 黄河口附近海域营养盐特征及富营养化程度评价[J]. 海洋通报, 2008, **27**(5): 65-72.
- [20] 林以安, 苏纪兰, 扈传昱, 等. 珠江口夏季水体中的氮和磷[J]. 海洋学报, 2004, **26**(5): 63-73.
- [21] 刘四光,高爱国,陈岚,等. 闽江河口咸淡水混合过程中营养盐含量的变化特征[J]. 台湾海峡, 2012, **31**(3): 345-352.
- [22] 黄海宁, 林彩, 暨卫东, 等. 九龙江河口区营养盐分布特征 及其影响因素分析[J]. 海洋通报, 2012, **31**(3): 290-296.
- [23] 李玲玲, 于志刚, 姚庆祯, 等. 长江口海域营养盐的形态和分布特征[J]. 水生态学杂志, 2009, **2**(2): 15-20.
- [24] 廖巍, 张龙军, 陈洪涛, 等. 2001-2011 年黄河口营养盐变化及入海通量估算[J]. 中国海洋大学学报, 2013, **43**(1): 81-86
- [25] 郑丙辉, 曹承进, 秦延文, 等. 三峡水库主要入库河流氮营 养盐特征及其来源分析[J]. 环境科学, 2008, **29**(1): 1-6.
- [26] 雷坤,郑丙辉,孟伟,等. 大辽河口 N、P 营养盐的分布特征 及其影响因素[J]. 海洋环境科学,2007,26(1):19-22, 27
- [27] 李桂菊,马玉兰,李伟,等. 春季渤海湾营养盐分布及潜在性富营养化评价[J]. 天津科技大学学报,2012,27(5):22-27.
- [28] 董兆远,娄安刚,崔文连. 胶州湾海水营养盐的分布及潜在 性富营养化研究[J]. 海洋湖沼通报,2010,(3):149-156.
- [29] 郭卫东,张小明,杨逸萍,等. 中国近岸海域潜在性富营养 化程度的评价[J]. 台湾海峡,1998,17(1):64-70.
- [30] 蒋岳文,关道明,陈淑梅,等. 辽河口水域夏季营养盐分布与变化特征[J]. 海洋通报,1996, **15**(3): 92-96.
- [31] 曲丽梅,姚徳,丛丕福.辽东湾氮磷营养盐变化特征及潜在 性富营养化评价[J].环境科学,2006,27(2):263-267.
- [32] 王焕松. 辽东湾海岸带生态环境压力评价与效应研究[D]. 北京:中国环境科学研究院, 2010. 29-32.
- [33] 于立霞, 简慧敏, 王兆锟, 等. 夏季辽河口各形态营养盐的河口混合行为[J]. 海洋科学, 2011, **35**(12): 68-74.
- [34] 周高煜. 大辽河氮、磷输送平衡研究[D]. 上海: 东华大学, 2013. 58-59.

HUANJING KEXUE

Environmental Science (monthly)

Vol. 37 No. 5 May 15, 2016

CONTENTS

Exploring the Severe Haze in Beijing During December, 2015; Pollution Process and Emissions Variation	
Pollution Characteristics and Source of HULIS in the Fine Particle During the Beijing APEC	
Seasonal Variation Characteristics and Potential Source Contribution of Sulfate, Nitrate and Ammonium in Beijing by Using Single I	Particle Aerosol Mass Spectrometry
	LIU Lang, ZHANG Wen-jie, DU Shi-yong, et al. (1609)
Pollution Characteristics and Source Apportionment of PM _{2.5} in Lanzhou City	
Pollution Level and Source Apportionment of Atmospheric Particles PM _{2,5} in Southwest Suburb of Chengdu in Spring	
Variation Characteristics of Total Gaseous Mercury at Simian Mountain Background Station in Mid-subtropical Region	
Establishment of Method for Health Risk Assessment of Pollutants from Fixed Sources	
Testing of Concentration and Characteristics of Particulate Matters Emitted from Stationary Combustion Sources in Beijing	
Pollution Evaluation and Risk Assessment of Heavy Metals from Atmospheric Deposition in the Parks of Nanjing	
${\tt CoCuMnO}_x \ {\tt Photocatalyzed} \ \ {\tt Oxidation} \ \ {\tt of} \ \ {\tt Multi-component} \ \ {\tt VOCs} \ \ {\tt and} \ \ {\tt Kinetic} \ \ {\tt Analysis} \ \ \cdots $	······· MENG Hai-long, BO Long-li, LIU Jia-dong, et al. (1670)
Distribution of Nitrogen and Phosphorus in the Tidal Reach and Estuary of the Daliao River and Analysis of Potential Eutrophication	
Spatial Distribution of Stable Isotope from the Lakes in Typical Temperate Glacier Region	
$\delta^{15}\text{N-NO}_3^-$ and $\delta^{18}\text{O-NO}_3^-$ Tracing of Nitrate Sources in Beijing Urban Rivers	······· ZHAO Qing-liang, MA Hui-ya, REN Yu-fen, et al. (1692)
Distribution Characteristics and Influencing Factors of Nitrate Pollution in Shallow Groundwater of Liujiang Basin	WANG He, GU Hong-biao, CHI Bao-ming, et al. (1699)
Nitrogen Losses Under the Action of Different Land Use Types of Small Catchment in Three Gorges Region	CHEN Cheng-long, GAO Ming, NI Jiu-pai, et al. (1707)
Interception Effect of Ecological Ditch on Nitrogen Transport in Agricultural Runoff in Subtropical China	
Biodegradation Coefficients of Typical Pollutants in the Plain Rivers Network	
Influence of Submerged Plants on Microbial Community Structure in Sediment of Hongze Lake	
Community Structure Characteristics of Diatom in Reservoirs Located in the South of Jiangsu Province, China and Its Control Factor	
Contamination and Ecological Risk Assessment of Mercury in Hengshuihu Wetland, Hebei Province	
Spatial Distribution and Potential Ecological Risk Assessment of Heavy Metals in Soils and Sediments in Shunde Waterway, Souther	
Spatial Distribution and Folential Ecological fusic Assessment of freaty streams in Sous and Secuments in Stitute waterway, Southern	
Pollution Characteristics and Ecological Risk of PBDEs in Water and Sediment from an Electronic Waste Dismantling Area in Taizh	
Foliution Characteristics and Ecological rusk of FDDEs in water and Sediment from an Electronic Waste Dismanting Area in Taizh	CHEN Viena ning DENC Dee ei LÜSu ning et el (1771)
Major Ionic Features and Their Controlling Factors in the Upper-Middle Reaches of Wujiang River	
Export of Total Organic Carbon (TOC) from Karst Watershed and Its Influencing Factors: An Example from Xueyudong Undergrou	and River System, Chongqing
Seasonal Variations and Controlling Factors of the Element Contents in Drip Waters Collected from the Baojinggong Cave in Guange	long Province
The land of the la	
$Tracing \ the \ Fecal \ Contamination \ Sources \ Based \ on \ \textit{Bacteroides} \ 16S \ rRNA \ PCR-DGGE \ in \ Karst \ Groundwater; Taking \ Laolongdong \ United States \ Groundwater; Taking \ Groundwater$	nderground River System, Nanshan, Chongqing as an Example
Sources and Variation Characteristics of Dissolved Lipid Biomarkers in a Typical Karst Underground River	
Formation of Halogenated By-products in Co ²⁺ Activated Peroxymonosulfate Oxidation Process ·····	
Aspartic Acid Generated in the Process of Chlorination Disinfection By-product Dichloroacetonitrile	
Influencing Factors of Assimilable Organic Carbon (AOC) Formation in Drinking Water During Ozonation Process	
Wastewater Quantity and Quality Fluctuation Characteristics of Typical Area of Hybrid Sewage System	
Preparation of HDTMA-modified Zeolite and Its Performance in Nitro-phenol Adsorption from Wastewaters	
Selection of Suitable Microalgal Species for Sorption of Uranium in Radioactive Wastewater Treatment	
Magnetic Fe ₃ O ₄ Microparticles Conditioning-Pressure Electro-osmotic Dewatering (MPEOD) of Sewage Sludge	QIAN Xu, WANG Yi-li, ZHAO Li (1864)
Stability of Short-cut Nitrification Nitrogen Removal in Digested Piggery Wastewater with an Intermittently Aerated Sequencing Batc	h Reactor
	SONG Xiao-yan, LIU Rui, SHUI Yong, et al. (1873)
Effect of Irrigation Patterns on Soil CO ₂ and N ₂ O Emissions from Winter Wheat Field in North China Plain	
Characteristics of Dissolved CH ₄ and N ₂ O Concentrations of Weihe River in Xinxiang Section in Spring	
Effect of Stimulated N Deposition on N ₂ O Emission from a Stipa krylovii Steppe in Inner Mongolia, China	
Response of Soil Respiration and Organic Carbon to Returning of Different Agricultural Straws and Its Mechanism	
Spatial Variability and Distribution Pattern of Soil Organic Matter in a Mollisol Watershed of China	
Effects of Tillage on Distribution of Heavy Metals and Organic Matter Within Purple Paddy Soil Aggregates	
Distribution Characteristics and Potential Ecological Hazards Assessment of Soil Heavy Metals in Typical Soil Profiles in Southeast S	
Distribution Characteristics and Folential Ecological nazarus Assessment of Son Fleavy Metals in Typical Son Frontes in Southeast 3	Suburb of Derjing
Contamination Assessment and Sources Analysis of Soil Heavy Metals in Opencast Mine of East Junggar Basin in Xinjiang	• • • • • • • • • • • • • • • • • • • •
Effect of Nano-TiO ₂ on Release and Speciation Changes of Heavy Metals in Soil	
Reduction Kinetics of Cr(VI) in Chromium Contaminated Soil by Nanoscale Zerovalent Iron-copper Bimetallic	
Inhibition of Low Molecular Organic Acids on the Activity of Acidithiobacillus Species and Its Effect on the Removal of Heavy Metal	Is from Contaminated Soil
Contribution of Particle Size and Surface Coating of Silver Nanoparticles to Its Toxicity in Marine Diatom Skeletonema costatum	
Rhizospheric Mechanisms of Hemerocallis middendorfii Trautv. et Mey. Remediating Petroleum-contaminated Soil and Metabonomic	Analyses of the Root Systems
7 7 0	
Effects of Thermophilic Composting on Antibiotic Resistance Genes (ARGs) of Swine Manure Source	
Interaction Between Sulfonamide Antibiotics Fates and Chicken Manure Composting	LIN Hui, WANG Jian-mei, SUN Wan-chun, et al. (1993)
interaction between Sunonamide Antibiotics Fates and Chicken Manure Composting	,,,,,,

《环境科学》第6届编辑委员会

主 编:欧阳自远

副主编:赵景柱 郝吉明 田 刚

编 委:(按姓氏笔画排序)

万国江 王华聪 王凯军 王绪绪 田 刚 田 静 史培军

朱永官 刘志培 刘 毅 汤鸿霄 孟 伟 周宗灿 林金明

欧阳自远 赵景柱 姜 林 郝郑平 郝吉明 聂永丰 黄 霞

黄耀 鲍强潘纲潘涛魏复盛

环龙种草

(HUANJING KEXUE)

(月刊 1976年8月创刊)

2016年5月15日 第37卷 第5期

ENVIRONMENTAL SCIENCE

(Monthly Started in 1976)
Vol. 37 No. 5 May 15, 2016

	2010	十 3 7 13 日 初 3 7 包 初 3 例			• /
主	管	中国科学院	Superintended	by	Chinese Academy of Sciences
主	办	中国科学院生态环境研究中心	Sponsored	by	Research Center for Eco-Environmental Sciences, Chinese
协	办	(以参加先后为序)			Academy of Sciences
		北京市环境保护科学研究院	Co-Sponsored	by	Beijing Municipal Research Institute of Environmental
		清华大学环境学院			Protection
主	编	欧阳自远			School of Environment, Tsinghua University
编	辑	《环境科学》编辑委员会	Editor-in -Chief		OUYANG Zi-yuan
>m	7-4	北京市 2871 信箱(海淀区双清路	Edited	by	The Editorial Board of Environmental Science (HUANJING
		18 号,邮政编码:100085)			KEXUE)
		电话:010-62941102,010-62849343			P. O. Box 2871, Beijing 100085, China
		传真:010-62849343			Tel: 010-62941102, 010-62849343; Fax: 010-62849343
		E-mail; hjkx@ rcees. ac. cn			E-mail:hjkx@rcees.ac.cn
		http://www.hjkx.ac.cn			http://www. hjkx. ac. cn
出	版	舒学出版社	Published	by	Science Press
	742	北京东黄城根北街 16 号			16 Donghuangchenggen North Street,
		邮政编码:100717			Beijing 100717, China
印刷装	麦 订	北京北林印刷厂	Printed	by	Beijing Bei Lin Printing House
发	行	斜学出版社	Distributed	by	Science Press
		电话:010-64017032			Tel:010-64017032
		E-mail:journal@mail.sciencep.com			E-mail:journal@mail.sciencep.com
订 购	处	全国各地邮电局	Domestic		All Local Post Offices in China
国外总:	发行	中国国际图书贸易总公司	Foreign		China International Book Trading Corporation (Guoji
		(北京 399 信箱)			Shudian), P. O. Box 399, Beijing 100044, China
		全国各地邮电局 中国国际图书贸易总公司			All Local Post Offices in China China International Book Trading Corporation (Guo

中国标准刊号: ISSN 0250-3301 CN 11-1895/X

国内邮发代号: 2-821

国内定价:120.00元

国外发行代号: M 205

国内外公开发行